

مدل‌سازی اجزاء محدود ستون‌های مستطیلی بتن مسلح تقویت شده با FRP

سasan عشقی (استاد بار)
وحید زنجانی‌زاده (کارشناس ارشد)
پژوهشگاه بین‌المللی زلزله‌شناسی و مهندسی زلزله

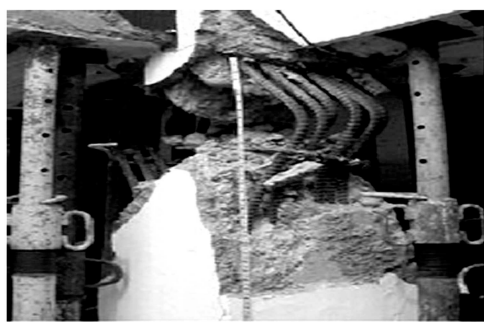
در این تحقیق پس از بررسی علت خرابی ستون‌ها در زلزله‌های گذشته، چگونگی در نظرگرفتن خصوصیات غیرخطی ستون‌های بتن مسلح تقویت شده و نشده توسط GFRP^۱، و به طور کلی مدل‌سازی اعضای بتن‌آرمه در نرم‌افزار ۵.۴ ANSYS تشریح شده است. همچنین ۱۲ نمونه ستون بتن‌آرمه مورد تحلیل استاتیکی غیرخطی قرار گرفته‌اند. دو نمونه طبق جزئیات آین نامه‌ی آبا مدل شده و ۱۵ نمونه طبق جزئیات آین نامه‌ی ACI قبل از سال ۱۹۷۱ که ۵ نمونه‌ی آن تا ۲۴ سانتی‌متر تقویت شده‌اند و همه تحت بارهای محوری متفاوت و تغییرمکان جانبی در بالای ستون مورد تحلیل قرار گرفته‌اند. علت انتخاب جزئیات ستون‌ها طبق آین نامه ACI قبل از ۱۹۷۱ شباهت این ستون‌ها به ستون‌های ساخته شده در کشور ایران است. هدف از انجام این تحلیل‌ها به دست آوردن ظرفیت ستون‌های تقویت شده در مقایسه با ستون‌های تقویت شده و نیز ستون‌های طح شده طبق آبا در مقایسه با ستون‌های ساخته شده طبق ACI قبل از سال ۱۹۷۱ در بارهای محوری متفاوت است.

مقدمه

تحقیقات و بررسی‌ها در مورد وضعیت اجرای ساختمان‌های بتن مسلح در کشور نشان می‌دهد که بسیاری از ساختمان‌های بتنی موجود در مقابل زلزله شدیداً آسیب‌پذیرند. ستون‌ها نیز به عنوان عضوی مهم در این ساختمان‌ها از این قاعده مستثنی نیستند. آسیب‌پذیری ستون‌ها ممکن است به علت جزئیات اشتیاه یا در بعضی موارد به علت طراحی نادرست باشد. این نقص باعث شکست ترد ستون بدون شکل‌پذیری لازم شده و تحت بارهای محوری و لنگر خمی خرابی‌های ناخواسته‌ی مانند خرد شدن زودهنگام بتن در هنگام زلزله به علت مقاومت پایین بتن، و لغزش آرماتور طولی قبیل از تسليیم به علت طول وصله‌ی ناکافی، باز شدن آرماتورهای عرضی به علت وجود قلاب با خم ۹۰ درجه و شکست‌های برشی را به همراه خواهند داشت.

به عنوان راه حلی برای کاهش آسیب‌پذیری ستون‌های بتن مسلح ساخته شده با این نقص می‌توان از FRP استفاده کرد. استفاده از FRP برای تعمیر و تقویت سازه‌ها در دنیا در حال افزایش بوده و در بعضی موارد به علت سبکی، حمل آسان، سادگی اجرا و غیره جایگزین روش‌های کلاسیک تعمیر و تقویت شده است. در این تحقیق برای بررسی تأثیر الیاف پلیمری در تقویت ستون‌ها، از ستون‌های مطابق آین نامه‌ی ACI قبل از سال ۱۹۷۱ استفاده شده است که دارای طول وصله‌ی ناکافی، خاموت با فاصله‌ی زیاد و زاویه‌ی قلاب ۹۰ درجه‌اند.^[۱] بدین منظور ۱۰ نمونه مطابق آین نامه‌ی ACI قبل از سال ۱۹۷۱ طراحی شده است. همچنین برای مقایسه،

فهرست علائم	
b, d	: طول و عرض مقطع
b_c	: بعد مقطع محصور شده
C	: ضریب چسبندگی
E_j	: مدول کشسانی الیاف
f_{yw}	: مقاومت تسليیم آرماتور عرضی
f'_c, f_c	: مقاومت فشاری بتن محصور نشده
f_{cc}	: مقاومت فشاری بتن محصور شده
f_t	: مقاومت کششی بتن
f_r	: فشار محصور شدگی
h	: بعد ستون
K	: شاخصه‌ی محصور شدگی
L	: ارتفاع ستون
s	: فاصله‌ی آرماتورهای عرضی
t	: ضخامت کل الیاف
ϕ	: زاویه‌ی چسبندگی
ε_{cf}	: ۵٪ کرنش نهایی الیاف FRP
ε_{cc50}	: کرنش نظیر ۵٪ مقاومت فشاری حداقل بتن
ε_{cc1}	: کرنش نظیر مقاومت فشاری حداقل بتن
ε_{cu}	: کرنش نهایی بتن
ε_e	: کرنش حد پارگی الیاف
ρ_w	: درصد حجمی آرماتور عرضی



شکل ۱. خرابی شدید در ستون و فاصله زیاد آرماتور عرضی (زلزله ۱۹۹۹ کلمبیا). [۷]



شکل ۲. خرابی به علت کمود طول و صله در بالا و پایین ستون (زلزله Bingöl ترکیه ۲۰۰۳). [۸]

مسلح به عملت کمود محصور شدگی به عملت فاصله‌ی زیاد آرماتور‌های عرضی و یا جزئیات نامناسب دیگر در زلزله‌ها شدیداً آسیب‌پذیر بوده‌اند. به عملت وضعیت ساخت و ساز و مشکلات مربوط به طراحی، میزان آسیب‌پذیری ستون‌ها در اثر این نقص در ایران ممکن است زیاد باشد.

۲. اثر محصورشدنی در مقاطع مستطیلی به وسیله‌ی آرماتور عرضی و FRP

محصورشدنی توسط آرماتور عرضی و اثر آن بر مقاومت و شکل‌پذیری از مفاهیم کلاسیک در بحث طراحی ستون‌های بتونی است. در ادبیات فنی می‌توان به مدل‌های مختلف این محصورشدنی در مقاطع مستطیلی دست یافت.^[۹-۱۰] واضح است که آرماتور عرضی همراه با افزایش کرنش نهایی بتون باعث افزایش شکل‌پذیری بتون می‌شود. این افزایش کرنش نهایی در حالت محصورشدنی با الیاف کامپوزیت بسیار بیشتر است، ولی کارایی محصورشدنی با الیاف کامپوزیت برای مقاطع مستطیلی نسبت به مقطع مدور بیشتر است؛ زیرا نقاطی از هسته بیشتر تحت فشار محدود کننده قرار دارند حال آنکه نقاطی همچون گوشه‌های مقطع تقریباً تحت فشار قرار ندارند. تیز بودن گوشه‌ها باعث می‌شود که اکثر خرابی‌ها به علت پارگی الیاف کامپوزیت در گوشه‌های مقطع اتفاق بیفتند. (شکل‌های ۳ و ۴).

ستون‌هایی که دقیقاً مطابق الزامات آیین‌نامه‌ی آبا ساخته شده‌اند، نمونه نیز مطابق با این آیین‌نامه طراحی شده است. ناحیه مفصل خمیری ۵ عدد از نمونه‌های مطابق آیین‌نامه قبل از ۱۹۷۱ با چهار لایه از الیاف کامپوزیت از نوع شیشه تقویت شده‌اند.

در این نوشتار پس از تشریح نحوه مدل‌سازی تمامی نمونه‌ها با نرم‌افزار ۵.۴ ANSYS با روش استاتیکی غیرخطی با کنترل تغییر مکان تحلیل می‌شوند تا عملکرد نمونه‌ها مورد بررسی قرار گیرد. به طور کلی هدف این نوشتار بررسی عملکرد ستون‌های بتون مسلح ساخته شده در کشور (که با استفاده از جزئیات آیین‌نامه‌ی ACI قبل از سال ۱۹۷۱ طراحی شده‌اند) و ستون‌های طراحی شده مطابق آیین‌نامه‌ی آبا و تأثیر تقویت ناحیه‌ی مفصل خمیری با الیاف شیشه بر عملکرد ستون‌های مطابق آیین‌نامه ACI قبل از سال ۱۹۷۱ است. ابعاد، مقاومت بتون و فولاد و بارهای اعمال شده بر ستون‌ها مطابق آزمایش‌های انجام شده در آزمایشگاه است.^[۲] در انتهای نوشتار، مقایسه‌ی پوش منحنی پسماند نمونه‌یی که در آزمایشگاه تحت بارگذاری سیکلی قرار گرفته با نمونه‌ی تحلیل شده با نرم‌افزار نشان می‌دهد که نتایج به دست آمده از مدل اجزاء محدود در مقایسه با نتایج آزمایشگاهی دارای نتایج قابل قبولی است.

۱. خرابی‌های ستون‌ها در زلزله‌های گذشته

براساس مطالعات انجام شده، خرابی ستون‌های بتون مسلح و آسیب‌وارد بر ستون‌ها در اثر بارهای زلزله را به صورت زیر می‌توان طبقه‌بندی کرد:^[۲]

۱. خرابی به علت لنگر رفت و برگشتی و برش کم تحت اثر فشار محوری زیاد که معمولاً در ستون‌های لاغر مطابق رابطه‌ی مقابله رخ می‌دهد. $\alpha = \frac{M}{Vh} = \frac{L}{\gamma h} \geq 3,5$

۲. خرابی به علت برش رفت و برگشتی و لنگرخمشی کم با فشار محوری زیاد که در ستون‌های چاق مطابق رابطه‌ی مقابله رخ می‌دهد. $\alpha = \frac{M}{Vh} = \frac{L}{\gamma h} < 3,5$

۳. خرابی در ناحیه‌ی وصله در ستون‌ها به خصوص در ناحیه‌ی پای ستون.

خرابی در ناحیه‌ی وصله به علت کمود طول و صله یا وصله کردن درصد زیادی آرماتور در یک مقطع رخ می‌دهد که باعث ترد شدن آن مقطع می‌شود. تا قبل از سال ۱۹۷۱ طول و صله‌ها عموماً به صورت فشاری طرح می‌شد و از این رو حتی ساختمان‌های ساخته شده طبق آیین‌نامه‌ی تا قبل از سال ۱۹۷۱ دارای کمود طول و صله‌اند. زلزله‌های اخیر در نقاط مختلف دنیا نشان‌گر این مطلب است.

خرابی‌های دو نمونه ستون به علت فاصله‌ی زیاد آرماتور عرضی و طول و صله‌ی ناکافی در شکل‌های ۱ و ۲ نشان داده شده است. خرابی‌های ستون‌ها در زلزله‌های گذشته نشان می‌دهد که اکثر ساختمان‌های بتون

۴. مدل سازی محصورشدنگی توسط آرماتور عرضی و GFRP

در مدل های عددی یا تحلیلی ستون ها از توزیع آرماتور عرضی استفاده شده است. برای اعمال محصورشدنگی توسط آرماتور عرضی از مدل محصورشدنگی استفاده شده است. در نهایت، پس از بررسی مدل های مختلف از مدل Park, Priestly, Gill استفاده شد.^[۱] منحنی تنش-کرنش و روابط مربوط به مقاومت محصورشده بتن داخل آرماتور عرضی و کرنش نهایی بتن محصور شده در شکل ۵ و نیز در فرمول های ۱ تا ۴ آورده شده است.

$$K = 1 + \frac{\rho_w f_{yw}}{f_c} \quad (1)$$

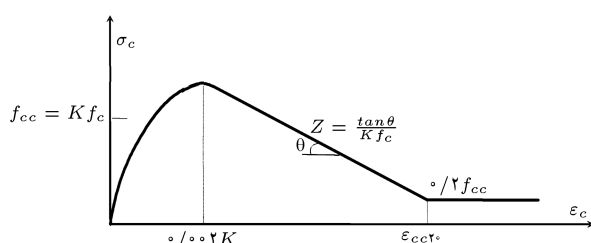
$$\varepsilon_{cc50} = \frac{3 + 0.29 f_c}{145 f_c - 1000} + 0.75 \rho_w \left(\frac{b_c}{s} \right)^{\frac{1}{4}} \quad (2)$$

$$z = \frac{0.5}{\varepsilon_{cc50} - \varepsilon_{cc1}} \quad (3)$$

$$f_{cc} = K f_c \quad (4)$$

مطابق جدول ۲، مقدار مقاومت فشاری $188/5$ کیلوگرم بر سانتی متر مربع در نظر گرفته شده است و برای انواع فاصله آرماتورهای عرضی مقدار افزایش مقاومت فشاری از فرمول های مدل محصورشدنگی Park, Priestly, Gill محاسبه شده است.^[۲]

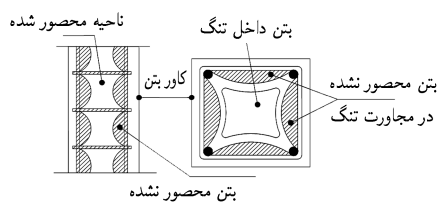
ستون بتن مسلح متداول، از یک هسته بتنی محصور در آرماتورهای عرضی و تعدادی آرماتور طولی در پیرامون هسته بتنی محصورشده، و یک پوشش بتنی در اطراف آرماتورهای عرضی تشکیل یافته است. افزودن پوشش کامپوزیتی FRP بر محیط ستون، سبب محصورشدن پوشش بتنی و اعمال محصورشدنگی اضافی بر هسته ستون می شود.



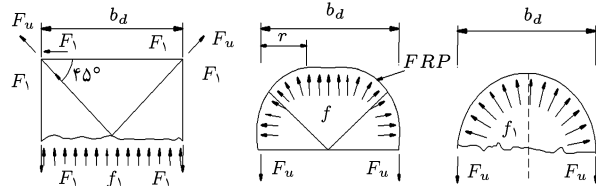
شکل ۵. نمودار تنش-کرنش مدل محصورشدنگی با آرماتور عرضی.^[۱]

جدول ۲. مقاومت فشاری بتن محصور شده در آرماتور عرضی برای اعمال در تحلیل.^[۲]

f_{cc} (kg/cm ²)	K	ρ_w	مقاومت بتن محصور نشده (Kg/cm ²)	ناحیه مورد بررسی
۲۰۷/۴	۱/۱	۰,۰۰۶۴۵	۱۸۸/۵	$\phi 4 @ 6$
۱۹۶	۱,۰۴	۰,۰۰۲۵۸	۱۸۸/۵	$\phi 4 @ 15$
۱۸۸/۵	۱	۰	۱۸۸/۵	پوشش ستون



شکل ۳. چگونگی محصورشدنگی در مقطع مربعی توسط آرماتور عرضی.^[۲]



شکل ۴. چگونگی تمرکز تنش در ستون های مستطیلی در حالت محصورشدنگی با الیاف FRP.^[۳]

۳. طراحی نمونه ها

به طور کالی از ۱۲ نمونه طراحی شده ۱۰ نمونه طبق آینه نامه ای ACI قبل از ۱۹۷۱ و ۲ نمونه طبق آینه نامه ای آبا طراحی شدند. از ۱۰ نمونه ای طراحی شده طبق آینه نامه ای ACI قبل از سال ۱۹۷۱ ۵ نمونه با ۴ لایه ای FRP نوع شیشه ای تا ۲۴ سانتی متر از پای ستون تقویت شدند. ارتفاع نمونه های طراحی شده ۸۰ سانتی متر و مقطع آنها $\times ۱۵۰$ میلی متر با ۸ آرماتور به قطر ۸ میلی متر از نوع فولاد با مقاومت تسلیم 400 کیلوگرم بر سانتی متر مربع و آرماتورهای عرضی به قطر ۴ میلی متر و با مقاومت تسلیم 300 کیلوگرم بر سانتی متر مربع به فاصله ای 150 و 60 میلی متر به ترتیب در ستون های طراحی شده مطابق ACI قبل از ۱۹۷۱ و آبا هستند (فقط در پای ستون تا ۲۴ سانتی متر آرماتور عرضی به فاصله 60 میلی متر قرار گرفته و سایر ارتفاع ستون به فاصله 150 میلی متر است). طول وصله در ستون مطابق آینه نامه ای ACI قبل از ۱۹۷۱ 16 سانتی متر و در ستون مطابق آبا 40 سانتی متر است.

برای تقویت 24 سانتی متر از پای ستون ها با ۴ لایه ای FRP نوع E و 20 گرمی با الیاف عمود بر هم که مشخصات آن در جدول ۱ ارائه شده است استفاده شده است. 24 سانتی متر معادل یک و نیم برابر طول وصله آرماتورها است (طول وصله 16 سانتی متر است). ضخامت هر لایه تقریباً 0.2 میلی متر است.

جدول ۱. مشخصات الیاف شیشه نوع E استفاده شده در تحلیل.^[۲]

ضریب انبساط گرمایی	مدول یانگ	مقاآمت کششی	مقاآمت چگالی	کرنش حدگسختگی
$4.7 \times 10^{-6} 1/c$	$7 \times 10^5 kg/cm^2$	$17500 kg/cm^2$	$2/54 gr/cm^2$	$0,048$

فرض کرد که بتن بعد از رسیدن به ظرفیت نهایی خود به عنوان ماده‌ی کشسانی-خمیری کامل عمل می‌کند.^[۱۴]

معیار خرایی به کارگرفته شده برای ستون‌های طراحی شده معیار شکست ویلیام وارنک است. این معیار از قابلیت در نظر گرفتن خردشدنی و ترک خوردگی در بتن برخوردار است. در این مدل‌سازی از قابلیت ترک خوردگی استفاده شده، و به جای کاربرد قابلیت خردشدن بتن در اثر فشار در قسمت‌هایی از ستون، از معیار تسليم دراکر-پراگر^۲ استفاده خواهد شد.

زمانی که بتن تحت ترکیب بار محوری و لنگر خمشی قرار می‌گیرد، ناحیه‌هایی از مقطع ستون که ترک خوردہ‌اند فقط قابلیت تحمل و انتقال نیروی برشی وارد شده (درجهت عمود بر راستای ترک خوردگی که راستای محوری ستون است) را دارند. براساس معیار شکست ویلیام-وارنک، سختی المان‌ها صفر می‌شود تا اینکه نیرو از این نقطه به نقاط دیگر منتقل شود و نقاط دیگر دچار ترک خوردگی شوند.^[۱۵] در ناحیه‌ی فشاری مقاطع، با توجه به ضربی پواسون و انبساط حجمی بتن، المان‌های بتن تحت ترک خوردگی حاصل از المان‌های محصورکننده قرار می‌گیرند و براساس معیار ویلیام-وارنک تا جایی که مقاومت برشی مقطع اجازه بدهد، از ظرفیت محصورکننگی FRP استفاده می‌کنند. براساس معیار تسليم دراکر-پراگر که اصلاح شده‌ی معیار فون میسز است، و نیز براساس تنش سه‌محوره پایه‌گذاری شده در اثر محصورشدنی و فشار جانبی، المان‌های قرار گرفته در ناحیه‌ی فشاری مقطع که محصور شده‌اند، نسبت به بتن محصورشده افزایش مقاومت و افزایش کرنش محوری خواهند داشت که این توسط مدل‌های محصورشدنی یاد شده نیز قابل توصیف است.

معیار گسیختگی در نظر گرفته شده برای الیاف کامپوزیت شیشه، معیار Tsai-Wu است. در این مدل گسیختگی، معیار خرایی با ترکیب و اندرکنش تنش‌های مجاز در تمام جهات به دست می‌آید.^[۱۶]

۶. اعمال پارامترهای مدل غیرخطی دراکر-پراگر
در حالت عادی مقدار ضربی چسبینگی و زاویه‌ی اصطکاک در مدل دراکر-پراگر مطابق رابطه‌های ۸ و ۹ محاسبه می‌شود:

$$\sin \phi = \frac{f'_c - f_t}{f'_c + f_t} \quad (8)$$

$$C = \frac{f'_c \times f_t}{f'_c - f_t} \operatorname{tg} \phi \quad (9)$$

براساس توضیحات و تفسیر بیان شده پیرامون محصورشدنی یک ستون بتن آرمه که کل مقطع آن بهوسیله‌ی پوششی از FRP محصور شده، و نیز هسته‌ی این مقطع که تحت فشار حاصل از آرماتور عرضی قرار گرفته، واضح است که برای پوشش بتنی و هسته‌ی بتنی در چنین

ستون بتن مسلحی که شامل بتن با مقاومت فشاری محصور نشده (f'_c) است و هسته‌ی آن تحت آرماتور عرضی محصور شده و نیز کل مقطع ستون تحت آرماتور FRP محصور شده، پس از بارگذاری محوری، هسته‌ی آن تحت فشار جانبی قرار می‌گیرد. برای مدل‌سازی اثر محصورشدنی بتن در الیاف FRP باید از مدل محصورشدنی استفاده کرد. اصولاً مدل‌های محصورشدنی در ستون‌های مستطیلی کمتر از ستون‌های دایره‌بی است که احتمالاً علت آن پیچیده بودن محصورشدنی در ستون‌های مستطیلی است. مدل‌های متعدد برای محصورشدنی الیاف کامپوزیت وجود دارد^[۱۳-۱۰] که در این نوشتار تنها از یک مدل خاص استفاده شده است.^[۱۷] این مدل در ضمن ساده بودن اکثر مشخصات الیاف را داراست و علاوه بر آن با انجام آزمایشات مختلف در دانشگاه نوادا مورد تأیید قرار گرفته است. رابطه‌ی به دست آمده از مدل یاد شده عبارت است از:

$$f_r = K_e \left(\left(\frac{E_j \varepsilon_j t_j}{d} \right) + \left(\frac{E_j \varepsilon_j t_j}{b} \right) \right) \quad (5)$$

که در آن مقدار ضربی K_e برای مقاطع مستطیلی برابر ۷/۵ است. در نهایت، مقاومت فشاری محصور شده براساس رابطه‌ی زیر به دست می‌آید:

$$f_{cu} = f'_c + ۹۸ f_r^{۰/۷} \quad (6)$$

که در آن f_r, f'_c, f_{cu} بر حسب کیلوگرم بر سانتی‌متر مریع محاسبه می‌شوند، و نیز کرنش بیشینه‌ی بتن از رابطه‌ی ۷ به دست می‌آید:

$$\varepsilon_{cu} = \frac{\varepsilon_{cf}}{۰,۲۳ \ln \left(\frac{f_r}{f'_c} - ۰,۹ \right)} \quad (7)$$

یک پوشش کامپوزیتی به ضخامت t و مدول کشسانی E در کل دو نوع محصورشدنی بر بتن مقطع ستون وارد می‌کنند: ابتدا بر پوشش بتنی با ضلع b و مقاومت فشاری f'_c تأثیر می‌گذارد و سبب افزایش مقاومت فشاری پوشش بتن به $f'_{cc-cover}$ می‌شود. دوم، بر اثر اعمال فشاری بر بتن هسته با مقاومت فشاری f_{cc-s} سبب افزایش مقاومت فشاری بتن هسته به $f_{cc-total}$ می‌شود (این قسمت تحت تأثیر دو فشار محصورشدنی است).

۵. معیارهای گسیختگی در نظر گرفته شده برای بتن و FRP

رفتار بتن محصور شده را تحت اثر بارهای وارد می‌توان به سه قسمت تقسیم کرد: (الف) تغییرشکل بدون ترک خوردگی و به طور کشسانی؛ (ب) تشکیل و توزیع ترک؛ (ج) تغییرشکل‌های خمیری. بنابراین می‌توان چنین

پخش شده در مقطع تأثیری در ازدیاد ترک‌ها ندارد. این در حالی است که در حالت مدل‌سازی آرماتور طولی با 8 Link آرماتورها تقریباً در محل کرنش بیشینه قرار دارند.

در مورد آرماتورهای عرضی نیز در هر دو حالت این آرماتورها در کل حجم ستون توزیع شدند ولی اثر محصور شدنگی توسط آرماتورهای عرضی مطابق مدل فرض شده در ستون دیده شده است. برای مدل‌سازی FRP از المان Shell99 این استفاده شده است که از یک سو قابلیت تعریف لایه لایه مصالح تا ۱۰۰ لایه و از سوی دیگر قابلیت در نظر گرفتن تغییر شکل‌های بزرگ (برای تحلیل غیرخطی) را دارد.^[۱۵] شرایط تکیه‌گاهی در پای ستون گیردار کامل و سر ستون نیز آزاد است. این ستون‌ها با مقیاس ۱/۲ ساخته شده‌اند و تغییر مکان ۵ سانتی‌متر به صورت تدریجی به سر ستون وارد می‌شود. نیروی محوری در نمونه‌های مختلف متفاوت است. علت انتخاب این نوع مدل این است که این ستون‌ها با همین مقیاس در آزمایشگاه ساخته شده‌اند^[۲] و صحبت نتایج آزمایشگاهی حاصله با نتایج تحلیلی تأیید شده است. برای همگراشدن تحلیل غیرخطی در سر ستون و در محل اعمال بار از ورق فولادی به ضخامت ۱ سانتی‌متر استفاده شده است.

۸. پوش ظرفیت ستون‌های تقویت شده و تقویت نشده

به دست آوردن پوش ظرفیت نمونه‌ها تحت بارگذاری استاتیکی غیرخطی، به سازه اجازه ورود به ناحیه‌ی غیرخطی را می‌دهد. در اینجا از منحنی ظرفیت نیرو-تغییر مکان استفاده می‌شود. با افزایش بار محوری ظرفیت باربری ستون کاوش می‌یابد که این در مورد ستون‌های تقویت شده نیز صادق است. مقادیر بار محوری از $(A_g f'_c)$ تا $(25 A_g f'_c)$ متفاوت بوده‌اند.

ستون‌های تقویت شده به علت وجود الیاف عمود بر امتداد ستون افزایش یافته است. در ابتدای تحلیل، احتمالاً به خاطر آنکه هنوز لنگر در ستون زیاد نیست، نمودارهای نمونه‌ها تحت بارهای متفاوت تقریباً بر هم منطبق است. ولی با افزایش تغییر مکان زوال مقاومت در نمونه‌ها مشاهده می‌شود. در شکل‌های ۶ و ۱۲ نمونه طبق جزئیات آینین نامه‌ی آبا تحت بار محوری (۳۶/۶) و (۱۲/۲) تن و نمونه‌های ساخته شده طبق ACI قبل از سال ۱۹۷۱ تحت بارهای محوری (۱۲/۲)، (۲۴/۴)، (۳۶/۶)، (۴۸/۸)، (۶/۸) تن و نیز نمونه‌های تقویت شده تحت بارهای محوری (۱۲/۲)، (۲۴/۴)، (۳۶/۶)، (۴۸/۸) تن و تمام نمونه‌ها تحت تغییر مکان ۵ سانتی‌متر (۶٪ تغییر مکان نسبی) تحلیل شده و نمودار ظرفیت آنها ارائه شده است. شکل پذیری نمونه‌های تقویت شده در این شکل‌ها کاملاً مشهود است.

ستونی دو دسته پارامتر متفاوت برای مدل رفتاری دراکر-پرگار باید در نظر گرفت.

ضریب محصور شدنگی پوشش بتنی که مقاومت فشار محصور شدنگی آن تحت تأثیر فشار جانبی ناشی از الیاف به $f_{cc-cover}$ رسیده از رابطه‌ی ۱۰ به دست می‌آید. با استفاده از روابط ارائه شده^[۱۶]، زاویه‌ی اصطکاک داخلی و ضریب چسبندگی بتن نیز براساس روابط ۱۱ و ۱۲ به دست می‌آید.

$$K_{cover} = \frac{f_{cc-cover} - f'_c}{f_{1-1}} \quad (10)$$

$$\theta_{cover} = 2 \left(\tan^{-1} \sqrt{K_{cover}} - 45 \right) \quad (11)$$

$$C_{cover} = \frac{f'_c (1 - \sin \theta_{cover})}{2 \cos \theta_{cover}} \quad (12)$$

در مورد هسته‌ی مقطع بتنی، پس از محاسبه‌ی مقاومت فشاری f_{cc-s} که حاصل از فشار جانبی آرماتورهای عرضی است، مقاومت فشاری نهایی $f_{cc-total}$ که بر اثر اعمال فشار جانبی حاصل از الیاف FRP بر بتن با مقاومت f_{cc-s} موجود آمده، به سیله‌ی یکی از روابط ارائه شده برای پیش‌بینی رفتار بتن محصور، محاسبه می‌شود.

پس از محاسبه‌ی ضریب محصور شدنگی هسته بتن محصور رابطه‌ی ۱۳، زاویه‌ی اصطکاک داخلی و ضریب چسبندگی هسته بتنی که تحت تأثیر محصور شدنگی حاصل از آرماتور عرضی و FRP قرار دارد از روابط ۱۴ و ۱۵ به دست می‌آید.

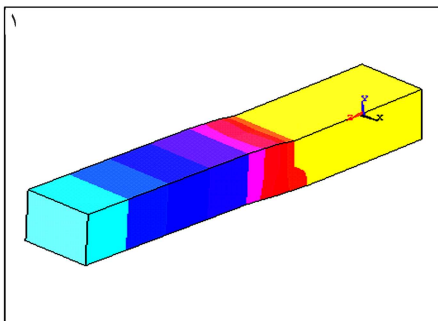
$$K_{core} = \frac{f_{cc-total} - f'_c}{f_{1-1} + f_{1-1}} \quad (13)$$

$$\theta_{core} = 2 \left(\tan^{-1} \sqrt{K_{core}} - 45 \right) \quad (14)$$

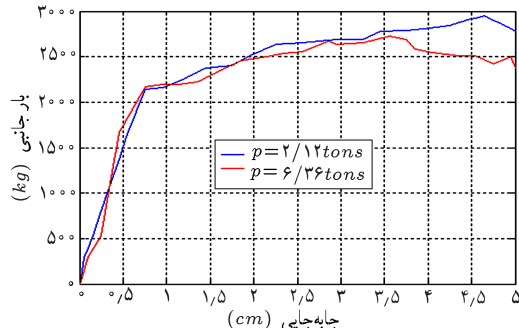
$$C_{core} = \frac{f'_c (1 - \sin \theta_{core})}{2 \cos \theta_{core}} \quad (15)$$

۷. نحوه مدل‌سازی و شرایط تکیه‌گاهی نمونه‌ها

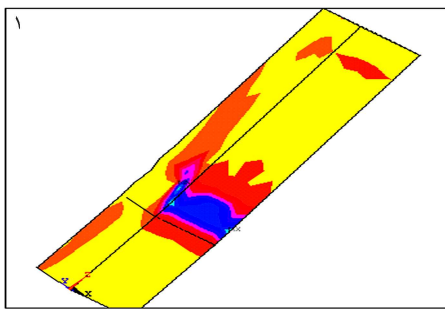
در مدل‌سازی بتن ستون‌ها از المان Solid65 و برای مدل‌سازی آرماتور طولی یک بار از المان Link8 و بار دیگر از توزیع حجمی آرماتور Link8 طولی در مقطع استفاده شد. در مدل‌سازی آرماتور طولی با Link8 جواب‌ها به واقعیت نزدیک تر بود. در حالت استفاده از Link8 علی‌رغم تعریف مقدار آرماتور بکسان با حالت قبل، پاسخ سازه بهتر بوده و تحت بارگذاری بالاتری سازه دچار خرابی شده است. به نظر می‌رسد که این افزایش در باربری به دلیل موقعیت آرماتورهای طولی است، به طوری که در حالت معرفی آرماتورها بصورت درصدی در المان 65 به دلیل پراکنده بودن آرماتورها در حجم ستون، ممان اینرسی خمی نسبت به حالت اخیر کمتر بوده است؛ ضمن این‌که در حالت پخش آرماتور ترک‌ها به راحتی از المان دیگر منتقل می‌شوند و آرماتور



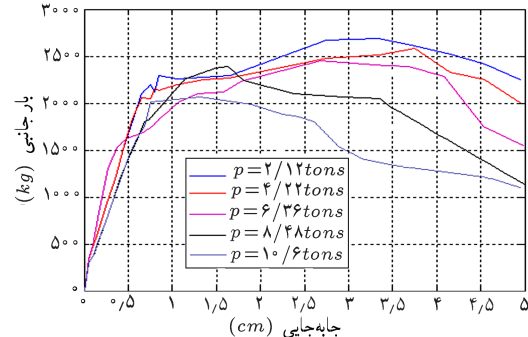
شکل ۹. تغییر شکل در طول ستون بر اثر ۵ سانتی متر تغییر مکان جانبی مطابق آینه نامه آبا با ۶/۳۶ تن بار محوری.



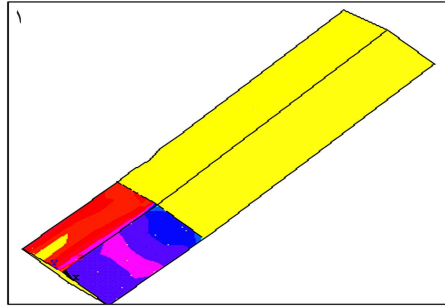
شکل ۶. منحنی پوش ظرفیت نیرو تغییر مکان نمونه های طرح شده طبق آینه نامه آبا.



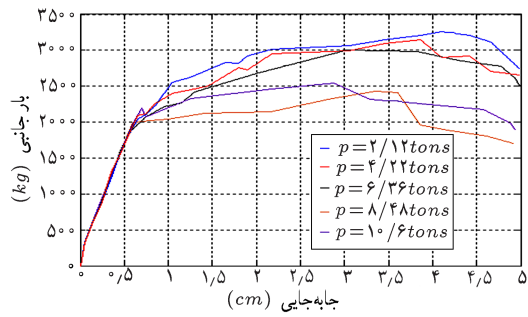
شکل ۱۰. نسبت تنش در ستون تقویت شده مطابق آینه نامه ACI قبل از سال ۱۹۷۱ با بار محوری ۶/۳۶ تن در تغییر مکان ۴/۶۸ سانتی متر.



شکل ۷. منحنی پوش ظرفیت نیرو تغییر مکان نمونه های طرح شده طبق آینه نامه ACI قبل از ۱۹۷۱.



شکل ۱۱. توزیع تنش طبق معیار فون میسز مطابق آینه نامه ACI قبل از سال ۱۹۷۱ با بار محوری ۲/۱۲ تن در تغییر مکان ۴/۶۸ سانتی متر.



شکل ۸. منحنی پوش ظرفیت نیرو تغییر مکان نمونه های طرح شده طبق آینه نامه ACI پیش از ۱۹۷۱، و سپس تقویت شده.

۹. مقایسه پوش نمونه ای آزمایشگاهی با نمونه ای تحلیلی

در این قسمت پوش منحنی پیمانه ای آزمایشگاهی ستون تقویت شده با پوش ظرفیت نمونه های تحلیلی برای نمونه با بار محوری ۶/۳۶ تن مقایسه شده است. ستون های ساخته شده در آزمایشگاه دارای مقطع و آرماتور طولی و عرضی و مشخصات مکانیکی مصالح مشابه با نمونه تحلیلی هستند؛ با این تفاوت که به جای گیرداری پای ستون، در نمونه های آزمایشگاهی از فونداسیون به ابعاد 40×60 و ارتفاع ۳۵ سانتی متر استفاده شده است که گیرداری کامل ستون را ایجاد می کند. نمودار مقایسه شده در شکل ۱۲ نشان داده شده است.^[۲]

در شکل های ۹ تا ۱۱ به ترتیب، تغییر شکل ستون تقویت شده، نسبت تنش بر روی بتن در ستون تقویت شده، و تنش طبق معیار فون میسز نشان داده شده است. مطابق شکل ۹ به علت محصور شدنگی ناحیه ای مفصل خمیری در ستون تقویت شده، تغییر شکل ستون تقریباً از وسط ارتفاع آن شروع شده است. تمرکز تنش در شکل ۱۰ در محل قطع الیاف FRP مشهود است. همچنین با توجه به تنش های ایجاد شده در شکل ۱۱ بر روی الیاف FRP تنش ها در حد مجاز است. چنان که در شکل ۶ نشان داده شده است ستون طرح شده طبق آینه نامه آبا از شکل پذیری نسبتاً خوبی برخوردار است که با افزایش بار محوری مقداری از شکل پذیری آن کاسته می شود.

۳. با افزایش بار محوری مقدار شکل پذیری ستون های تقویت شده نسبت به ستون های تقویت نشده بیشتر می شود که احتمالاً علت آن تمایل بتن در ناحیه مفصل برای کرنش جانبی است. الیف در این حالت از کرنش جانبی بتن جلوگیری کرده و باعث افزایش شکل پذیری ستون می شوند.

۴. با افزایش بار محوری، شکل پذیری ستون های تقویت شده و نشده مطابق آین نامه ACI قبیل از سال ۱۹۷۱ کاهش می یابد.

۵. اکثر تنش ها ابتدا در ناحیه قطع آرماتور در انتهای وصله متتمرکز و سپس به بقیه نقاط ناحیه مفصل خمیری منتقل شده است.

۶. در ستون های تقویت شده، در محل قطع الیاف FRP و نیز گوشی های ستون ها شدیداً تمرکز تنش مشاهده می شود. ولی هیچ گونه پارگی در زمان تحلیل در محل قطع الیاف و گوشی های ستون ها دیده نشده است. نتایج آزمایشگاهی نیز مؤید این امر هستند.

۷. ظرفیت خمی شدن نمونه های تقویت شده به علت الیاف در جهت طول عضو و نیز محصور شدن در پای ستون به مقدار ۱۵ تا ۲۰ درصد نسبت به نمونه های تقویت نشده افزایش یافته است.

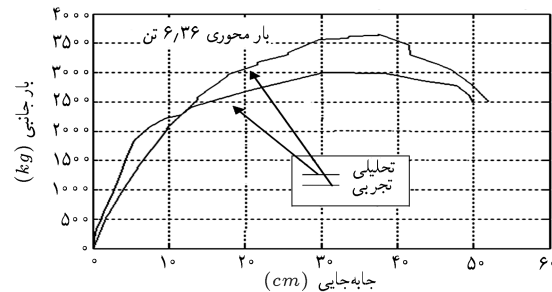
۸. کرنش در بتون فشاری در ستون با بار محوری زیاد بیشتر است.

۹. با افزایش بار محوری تنش در الیاف افزایش می یابد. ولی هیچ گونه پارگی یا تغییر شکل خمیری در الیاف دیده نشد.

۱۰. مقایسه پوش منحنی ظرفیت در حالت تحلیل عددی و آزمایشگاهی شان می دهد که روش مدل سازی توضیح داده شده در مورد ستون های بتون آرمه تقویت شده با الیاف کامپوزیت می تواند به جواب های قابل قبول و دقیقی منتهی شود.

۱۱. در ستون های تقویت شده مفصل خمیری به بالای ناحیه تقویت شده منتقل شده است.

۱۲. مدل سازی آرماتور با المان 8 Link نسبت به حالت توزیع آرماتور در حجم جواب های قابل قبول تری دارد.



شکل ۱۲. مقایسه منحنی پوش ظرفیت نیرو-تغییر مکان نمونه تقویت شده در تحلیل و آزمایش.

نتیجه گیری

کاربرد جزئیات مناسب در محل وصله در پای ستون ها، از اهمیت بهسزایی در رفتار سازه های بتون مسلح تحت اثر زلزله برخوردار است. متأسفانه در سازه هایی که با ویرایش های گذشته ای آین نامه ها طراحی و اجرا شده اند و یا به دلایل اجرایی این جزئیات از شرایط لازم برای محصور شدن گی بتون برخوردار نیستند این نقص وجود دارد.

برای ارتقا عملکرد ستون هایی با شرایط ذکر شده که مقاومت برشی کمی دارند، می توان از روش تقویت با الیاف GFRP استفاده کرد. این روش می تواند باعث افزایش ظرفیت برشی و نیز شکل پذیری و مقاومت خمی شدن ستون ها شود. برای تحلیل ستون های تقویت شده از روش تحلیل اجزاء محدود استفاده شد برای اطمینان از صحبت نتایج، نمودار پوش ظرفیت تحلیلی و آزمایشگاهی ستون تقویت شده مقایسه شد و نشان داده شد که جواب ها از دقت قابل قبولی برخوردارند. علاوه بر موارد یاد شده، با توجه به بررسی های به عمل آمده می توان نتایج زیر را نیز ارائه داد:

۱. به علت سختی زیاد ناحیه وصله نسبت به کل ارتفاع ستون، تغییر مکان ستون از ناحیه بعد از وصله آغاز شده است؛ بدان معنا که اینها در ناحیه وصله ثابت است.

۲. با افزایش بار محوری ظرفیت با برابری جانبی ستون های تقویت نشده تا دو برابر کاهش یافته است. این کاهش ظرفیت با برابری در ستون های تقویت شده کمتر است.

پانوشت

1. Glass Fiber Reinforced Polymer
2. Drucker-Prager

منابع

1. Lynn, A.C., Moehle, J.P., Mahin, Stephen A. and Holmes, William T., "Seismic evaluation of

existing reinforced concrete building column", Earthquake Spectra, 12(4), (1996).

۲. زنجانی زاده، وحید. «بررسی آزمایشگاهی و تحلیلی تعمیر و تقویت لرزه بیستون های بتون مسلح»، پایان نامه کارشناسی ارشد رشته مهندسی زلزله، به راهنمایی دکتر سازمان عشنی، پژوهشگاه بین المللی زلزله شناسی و مهندسی زلزله (۱۳۸۴).

3. Penelis, G. and Kappos, A.J, "Earthquake-resistance concrete structures", E &FN Spon Published (1997).
4. Sheikh. S.A., and Uzumeri. S, "Strength and ductility of tied concrete columns", *Journal of Structural Engineering, ASCE*, **106**(5), pp. 1079-1102 (1980).
5. Mander. J.B., Priestley, M.J.N. and Park. R, "Theoretical stress-strain model for confined concrete", *Journal of Structural Engineering, ASCE*, **114**(8), pp. 1804-1826 (1988).
6. Saatcioglu. M., and Razvi. S, "Strength and ductility of confined concrete", *Journal of Structural Engineering, ASCE*, **118**(6), pp. 1590-1607 (1992).
7. www.nisee.com.
8. Campione. G., Miraglia. N. and Scibilia. N, "Compressive behavior of R.C members strengthened with carbon fiber reinforced plastic layers", *International Conference on Earthquake Resistant Engineering Structure III*, Malaga, Spain, pp. 397-406 (2001).
9. Park. R, Priestley. M.J. and Gill. W.D, "Ductility of square-confined concrete columns", *Journal of Structural Engineering, ASCE*, **108**(ST4), pp. 135-137 (1982).
10. Toutanji. H.A, "Stress-strain characteristics of concrete columns externally confined with advanced fiber composite sheets", *ACI Material Journal*, **96**(3), pp. 397-404 (1999).
11. Xiao. Y. and Wu. H, "Compressive behavior of concrete confined by carbon fiber composites jackets", *Journal of Materials in Civil Engineering, ASCE*, **12**(2), pp. 139-146 (2000).
12. Lam. L. and Teng. J.G, "Strength models for fiber reinforced plastic confined concrete", *Journal of Structural Engineering, ASCE*, **128**(5), pp. 612-623 (2002).
13. Pulido. C, Saiidi. S.M, Sanders. D, Itani. A. and El-Azaay. S, "Seismic performance of two-column bents-part1: retrofit with carbon fiber reinforced fabrics", *ACI Structural Journal*, **101**(4) (2004)..
14. Mirmiran. A, Zagers. K. and Yuan. W, "Non-linear finite element modeling of concrete confined by fiber composites", *Finite Element in Analysis and Design*, pp. 79-96 (2000).
15. ANSYS®, Structural Nonlinearities Manual, Swanson Analysis System, Houston, PA (1995).
16. Eshghi. S. and Zanjani-Zadeh. V, "Experimental study on seismic strengthening of square concrete columns with lap slice deficiencies by glass fiber-reinforced polymer", Paper No: 1635, *Proceeding of First European Conference on Earthquake Engineering and Seismology*, Geneva, Switzerland, (2006).